

## Penghitungan Tebal Setara Metode Boussinesq-Exel dan FWD-ELMOD pada Perkerasan Lentur

(Equivalent Thickness Calculation Methods Boussinesq-Exel and FWD-ELMOD on Flexible Pavement)

SENTOT HARDWIYONO

### ABSTRACT

Calculating the Flexible Pavement System (FPS) response has initiated by Boussinesq, Burmister, Huang and more scientists around the world. Determining modulus elasticity each stratum FPS very important to note to designing the Flexible Pavement. The purpose of this study is to determine the elastic modulus of each layer in the profile Flexible Pavement Systems (FPS) with a thickness equivalent method Boussinesq-Exel and FWD-ELMOD. Tests were run on the Soekarno-Hatta Cikampek-Purwakarta-Bandung and West Java highways, Indonesia. The test results showed a good correlation between the modulus of each layer in the FWD testing with those of Boussinesq-Exel test.

**Keywords:** FWD-ELMOD, Boussinesq-Exel, flexible pavement system, deflection

### PENDAHULUAN

Parameter yang penting pada Sistem Perkerasan Lentur (SPL) antara lain adalah modulus elastis linier perkerasan ( $E$ ), modulus elastis non linier tanah dasar ( $E_s$ ), rasio Poisson ( $\mu$ ), tegangan ( $\sigma$ ), regangan ( $\epsilon$ ), lendutan ( $d$ ), nilai struktur kritik (*critical structure value*), dan keadaan lingkungan (*environmental condition*) (Huang, 2004).

Untuk memenuhi penyelenggaraan, pemulihan dan perbaikan SPL diperlukan suatu metode pengujian yang sesuai. Pengujian berdasarkan metode lendutan (*deflection method*) yang menggunakan alat *Falling Weight Deflectometer* (FWD) dapat memenuhi untuk keperluan ini. Metode ini telah digunakan secara meluas di seluruh dunia seperti Denmark (Berg et. al, 1986; Ullidz & Stubstand, 1985), Inggris (Brown et al., 1986), Belanda (Humer et al, 1986; Molennar & Beuving, 1986), Jepang (Miura & Tube, 1977), Australia (Ullidz, 1984), Indonesia (DPU, 1993) dan Malaysia (JKR, 1994) hingga sekarang. Pengujian dengan menggunakan alat FWD telah memberikan hasil yang baik untuk pengujian perkerasan lentur (AASHTO, 1993; Asphalt Institute,

1981; FHWA, 2003; Huang, 2004; Kosasih, 2003; Shell, 1978). Penghitungan dan analisis lendutan pada pengujian FWD telah dijalankan menggunakan metode element terhingga stokastik (Stolle & David, 2002). Kini metode FWD untuk menilai kondisi SPL semakin meluas digunakan (Choi et al, 2010; Gedafa et al., 2009; Tawfiq, 2003; TxDOT, 2008).

Dalam penelitian ini akan dilakukan penghitungan tebal perkerasan dengan menggunakan metode Boussinesq-EXEL untuk melihat tegangan dan regangan yang terjadi di kedalaman titik perkerasan yang dikehendaki dan melihat korelasinya dengan hasil perhitungan menggunakan metode FWD.

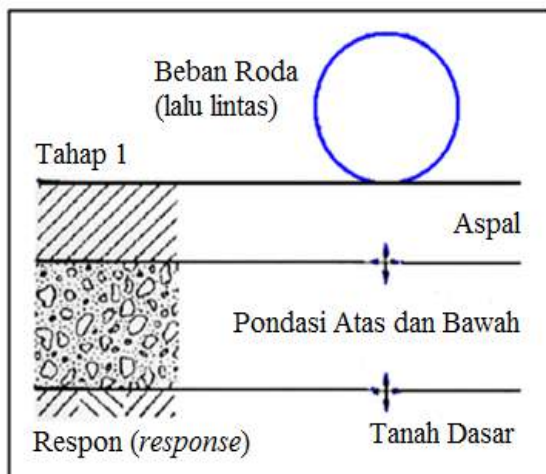
### Sistem Perkerasan Lentur

Sistem Perkerasan Lentur (SPL) didesain, dibuat dan selanjutnya digunakan untuk menanggung beban lalulintas dalam jangka waktu yang diharapkan. Setelah selesai dibuat kondisi SPL dapat dianggap baik jika memenuhi semua persyaratan desain. Selanjutnya perkerasan akan mengalami penurunan kualitas, yaitu respon dan performa yang terus berkurang hingga batas akhir waktu pelayanannya (Kosasih, 2003).

Pada dasarnya terdapat tiga metode desain SPL, yaitu secara empirik (*empirical*), mekanik (*mechanistic*) dan gabungan kedua metode. Secara umum metode empirik menggunakan persamaan, tabel dan gambar untuk menilai keadaan SPL. Metode mekanik biasa menggunakan komputer dalam menghitung dan mendesain keadaan SPL. Gabungan kedua metode dinamakan metode mekanik-empirik (*mechanistic-empirical*) yang banyak digunakan untuk penyelenggaraan, pemulihan dan perbaikan SPL (Huang, 1993; Ullidtz, 1987).

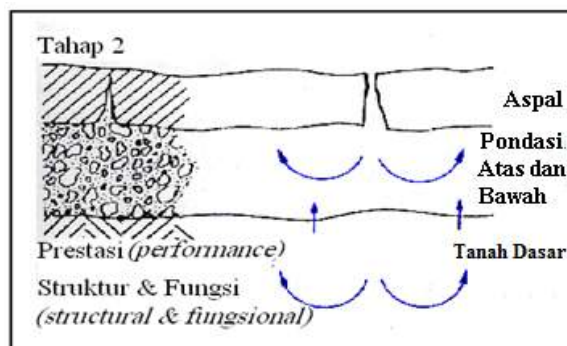
Beban lalulintas yang bekerja pada SPL direspon oleh perkerasan yang melibatkan mammatan tegangan (*compressive stresses*), regangan tensil (*tensile strains*) dan lendutan (*deflection*). Performa perkerasan juga melibatkan fungsi pelayanan dan keadaan struktur SPL. Pengetahuan perilaku pergerakan lalu lintas, sentuhan roda, modulus, rasio Poisson, tegangan, regangan, redaman, suhu dan keadaan lingkungan diperlukan untuk menghitung respon dan performa SPL.

Metode mekanik-empirik untuk desain SPL memerlukan dua tahap penghitungan. Tahap pertama menghitung respon perkerasan yang berupa tegangan, regangan dan lendutan kritis setiap lapisan SPL dengan menggunakan analisis metode mekanik yang berdasarkan prinsip-prinsip teori elastis. Seterusnya respon perkerasan ditunjukkan pada Gambar 1.



GAMBAR 1. Respon SPL (Ullidtz, 1987)

Tahap kedua (Gambar 2) meramal performa keadaan struktur dan fungsi perkerasan di masa depan. Ini adalah fungsi beban lalulintas dan pengaruh lingkungan yang ada.



GAMBAR 2. Performa SPL (Ullidtz, 1987)

Respon perkerasan dipengaruhi oleh beban lalulintas dinamik yang bergerak, redaman dan sentuhan roda pada permukaan perkerasan. Bahan perkerasan umumnya anisotropis dan butirannya heterogen yang perilakunya dapat dimodelkan secara liquid Newtonian dan solid Hookean (Ullidtz, 1998).

Metode yang paling umum untuk menggambarkan sifat respon dalam suatu struktur perkerasan (*half space yang homogen*) adalah melalui pondasi atas Boussinesq (van Cauwelaert, 1993).

Dalam desain perkerasan lentur, Burmister (1943, 1944) memberikan sumbangan penting melalui penyelesaian penghitungan SPL untuk dua dan tiga lapisan. Odemark (1949) memperkenalkan suatu cara yang memungkinkan sistem banyak lapisan (*multi layers*) diubah ke dalam suatu lapisan takterhingga, dengan memanfaatkan persamaan Boussinesq. Seterusnya, berdasarkan penyelesaian analisis Burmister (1943, 1944), banyak penyelesaian penghitungan dalam bentuk grafik dan tabel tegangan dan perubahan bentuk pada sistem dua dan tiga lapisan SPL telah diperkenalkan oleh Acum & Fox (1951), Huang (1969) dan Peattie (1962). Penyelesaian penghitungan ini dapat dibuat melalui analisis komputer yang menghasilkan perangkat lunak seperti ELMOD (Ullidtz, 1998). Hampir semua perangkat lunak yang dibuat menganggap bahwa bahan bersifat elastik linier, tetapi ada pula pada batas tertentu yang mempertimbangkan pengaruh non elastik (Irwin, 1991). Beban tunggal yang dikenakan termasuk dipertimbangkan dan letaknya bersimetri dengan satu baris normal pada permukaan perkerasan (Loannides et al, 1998). Walaupun teori lapisan Burmister (1943, 1944) berasaskan bahan elastik linier, dapat juga digunakan untuk analisis bahan non linier elastik dengan menggunakan kesetaraan elastik dan non elastik.

### Alat Falling Weight Deflectometer

Pengujian alat *Falling Weight Deflectometer* (*FWD*) mudah dilaksanakan dengan hasil yang baik (Huang, 1993; Park & Kim, 2003; Tawfiq et al, 2000; Xu et al, 2002; Zhou, 2000).

Sebagai beban gandar standar lalulintas adalah 8,2 Ton (AASHTO 1993; Puslitbang 2003) dan beban setengah gandar standar 4,1 ton atau 41 kN juga bisa digunakan. Nilai tekanan P (dalam FWD) adalah sama dengan 580 kPa yang diperoleh dari beban 41 kN yang dikenakan pada permukaan perkerasan dan terus menyebar hingga lapisan tanah dasar melalui plat baja bulat (luas =  $1/4 \pi D^2$  dan D adalah garis tengah bernilai 300 mm). Nilai P ini adalah level tegangan puncak yang juga digunakan oleh banyak negara (Ullidtz dan Peattie, 1980).

Deflector adalah alat menyerupai geofon (*geophone*) perekam yang dipasang pada alat FWD. Geofon pertama dipasang berdekatan dengan plat beban jatuh dan seterusnya 7 hingga 9 geofon dipasang berjajar hingga ujung batang pengukur FWD (Dynalect, 2001; WSDOT, 2009).

### Penghitungan Balik Perangkat Lunak ELMOD pada Pengujian FWD

Analisis modulus perkerasan menganggap bahwa SPL mempunyai lapisan tipis, sederhana dan tebal (Linda, 1999). Anggapan tipis, sederhana, tebal dan banyak lapisan pada struktur perkerasan sangat mempengaruhi hasil modulus perkerasan yang didapat. Perangkat lunak lain seperti PADAL, ELSYM5, BISTRO, CHEVRON, MODCOMP, BOUSDEF, ILLI-PAVE, EFROMD, dll yang dihasilkan oleh banyak peneliti sebelum ini (Fwa & Rani 2005; Huang 1993; Uzan et al. 1989; Zhou et al. 1992) semuanya bertujuan menghitung modulus lapisan perkerasan *in situ* menggunakan analisis penghitungan balik dari lendutan hasil pengujian FWD.

TABEL 1. Jarak geofon untuk tebal keseluruhan perkerasan (Danida, 1990)

| <b>Tebal seluruh lapisan perkerasan<br/>(mm)</b> | <b>Jarak geofon yang digunakan<br/>(mm)</b> |     |     |     |      |      |      |  |
|--|---|-----|-----|-----|------|------|------|--|
|  | 0   | 200 | 300 | 450 | 600  | 900  | 1200 |  |
| < 500 (tipis)                                    | 0   | 200 | 300 | 450 | 600  | 900  | 1200 |  |
| 300 – 700 (normal)                               | 0   | 300 | 600 | 750 | 900  | 1200 | 1500 |  |
| >700 (tebal)                                     | 0   | 300 | 600 | 900 | 1200 | 1500 | 1800 |  |
| Perkerasan lentur                                | 0   | 200 | 300 | 450 | 600  | 900  | 1500 |  |

Perubahan suhu berpengaruh pada lapisan aspal (AASHTO 1993; Ehrola et al. 1990; Shao et al. 1997). Pengujian yang sama juga dilakukan oleh Park et al. (2001) yang membuat model koreksi suhu keadaan normal dari pengukuran lendutan untuk rujukan suhu perkerasan.

Kekuatan tanah dasar dipengaruhi oleh musim, hal ini telah dikaji oleh AASHTO (1993) (Chen et al, 2000). Alat FWD sangat sensitif dengan keadaan lingkungan seperti musim, suhu dan curah hujan. Oleh karena itu pengujian *in situ* perlu dilakukan lebih dari satu kali untuk mendapatkan hasil pengujian FWD yang paling baik (Watson et al, 2004)

### Batas Toleransi Beban pada Pengujian FWD

Toleransi maksimum lendutan d tidak boleh melebihi 2%. Nilai daya maksimum pengujian alat FWD ditunjukkan dalam Persamaan (1).

$$P = \sqrt{2mghc} \quad (1)$$

dengan:

P : nilai daya maksimum dari beban (kPa)

m : berat beban yang dijatuhkan (kg)

g : gravitasi ( $m/s^2$ )

h : ketinggian jatuh (m)

c : konstanta pegas (N/m)

### Jarak Geofon pada Pengujian FWD

Jarak geofon ditentukan berdasarkan tebal keseluruhan perkerasan (Danida, 1990) yang ditunjukkan dalam Tabel 1.

### Tinjauan Parameter Pada Pengujian Fwd-Elmod

ELMOD adalah satu perangkat lunak komputer yang digunakan untuk menilai modulus elastis setiap lapisan perkerasan dan tanah dasar melalui analisis data lendutan pengujian FWD.

Perangkat lunak ini dapat digunakan untuk mendesain perkerasan baru, tebal lapisan tambah (*overlay design*) atau sisa waktu pelayanan perkerasan. Persamaan dan parameter yang digunakan dalam ELMOD untuk menilai lendutan pengujian FWD ialah persamaan Boussinesq (1885) dan persamaan ketebalan setara metode Odemark (1949), pengaruh lingkungan, pengaruh keretakan lapisan aspal, batas tegangan-regangan dalam lapisan perkerasan dan kekuatan tanah dasar.

#### *Lendutan Permukaan ( $d_0$ ) dan Modulus Elastis Permukaan ( $E_0$ )*

Beban yang dikenakan pada permukaan perkerasan terbagi seragam pada pusat beban dinyatakan dalam persamaan lendutan permukaan (Persamaan 2) yang berdasarkan hukum Hooke, persamaan modulus Young dan persamaan Boussinesq. Lendutan pada pusat beban dan jarak  $r$  ditunjukkan dalam Persamaan (2) dan (3).

$$d_0(0) = [2(1 - \mu^2)] \left[ \frac{a \cdot \sigma_0}{E_0(0)} \right] \quad (2)$$

$$d_0(r) = [(1 - \mu^2)] \left[ \frac{\sigma_0 \cdot a^2}{(r \cdot E_0(r))} \right] \quad (3)$$

Lendutan di pusat plat beban adalah lendutan permukaan perkerasan umumnya lendutan maksimum *in situ*. Penghitungan lendutan ini dapat dilakukan menggunakan Persamaan (2). Lendutan yang terjadi pada jarak  $r$  dari pusat beban dapat dihitung menggunakan Persamaan (3). Modulus elastis permukaan ( $E_0$ ) merupakan modulus rata tertimbang pada setengah bagian (*half space*). Modulus elastik permukaan ( $E_0$ ) ini dapat dihitung dari lendutan permukaan ( $d_0$ ) menggunakan persamaan Boussinesq. Modulus ( $E_0$ ) adalah modulus elastik keseluruhan dengan anggapan bahwa perkerasan terdiri dari satu lapisan bahan saja. Persamaan modulus elastis permukaan ( $E_0$ ) pada pusat beban dan pada jarak  $r$  dari pusat beban ditunjukkan dalam Persamaan (4) dan (5).

$$E_0(0) = [2(1 - \mu^2)] \left[ \frac{a \cdot \sigma_0}{d_0(0)} \right] \quad (4)$$

$$E_0(r) = [(1 - \mu^2)] \left[ \frac{\sigma_0 \cdot a^2}{(r \cdot d_0(r))} \right] \quad (5)$$

dengan:

$E_0(r)$  = modulus elastis permukaan pada

jarak  $r$  dari pusat beban

$\mu$  = rasio Poisson (biasanya = 0,35)

$\sigma_0$  = tegangan di bawah plat pembebahan

$a$  = jari-jari plat pembebahan

$d(r)$  = lendutan pada jarak  $r$

Lendutan  $d_r$ ,  $d_0$ ,  $d_0(0)$  dan  $d_0(r)$  pada Persamaan (2), (3), (4) dan (5) adalah data yang bisa didapatkan dari lendutan perkerasan pengujian FWD. Modulus permukaan perkerasan  $E_0(0)$  pada lendutan ( $d_1$ ) dapat dihitung menggunakan Persamaan (3). Enam modulus permukaan perkerasan yang lain yaitu  $E_0(r_2)$  pada lendutan ( $d_2$ ),  $E_0(r_3)$  pada lendutan ( $d_3$ ),  $E_0(r_4)$  pada lendutan ( $d_4$ ),  $E_0(r_5)$  pada lendutan ( $d_5$ ),  $E_0(r_6)$  pada lendutan ( $d_6$ ) dan  $E_0(r_7)$  pada lendutan ( $d_7$ ) dihitung menggunakan Persamaan (4). Modulus permukaan perkerasan  $E_0$  merupakan modulus rata-rata tertimbang keseluruhan SPL yang dihitung dari lendutan permukaan ( $d_0$ ) menggunakan persamaan Boussinesq (Ullidtz 1987). Ini berarti  $E_0$  adalah modulus elastis yang sebenarnya secara keseluruhan dengan anggapan bahwa perkerasan hanya mempunyai bahan satu lapisan saja.

## METODE PENELITIAN

### *Prosedur Pengujian FWD di Lapangan*

Tujuan utama pengujian FWD *in situ* adalah untuk mendapatkan lendutan perkerasan yang terjadi.

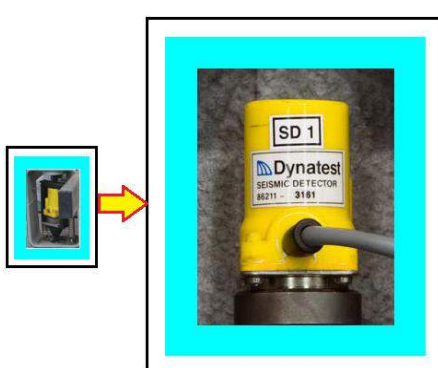
Alat *Falling Weight Deflectometer* ditunjukkan pada Gambar 3.



GAMBAR 3. *Falling Weight Deflectometer* jenis Dynatest 8000 yang digunakan dalam pengujian

Berikut ini dijelaskan semua peralatan yang digunakan dalam pengujian FWD.

- a. Berat beban jatuh untuk mendapatkan lendutan perkerasan yang dikenakan pada SPL ialah 4,1 Ton. Beban dikenakan ke atas plat bulat berjari-jari 150 mm dan menghasilkan tegangan normal permukaan perkerasan ( $\sigma_0$ ) 580 kPa. Beban ini hampir setengah dari beban gandar roda belakang kendaraan standar. Untuk melihat pengaruh beban pada SPL berat beban pengujian FWD dapat disesuaikan menurut kekuatan SPL.
- b. Geofon dipasang pada batang ukur FWD seperti yang ditunjukkan dalam Gambar 4 (Dynatest, 2008).



GAMBAR 4. Geofon (Dynatest, 2008)

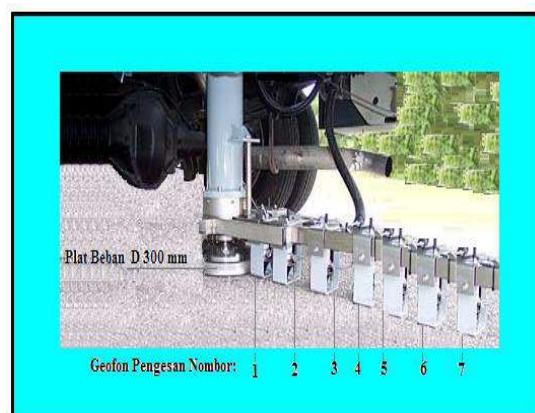
- c. Susunan geofon dalam pengukuran lendutan perkerasan di lapangan ditunjukkan dalam Gambar 5.
- d. Suhu udara dan suhu perkerasan senantiasa direkam saat pengujian FWD dijalankan *in situ*. Data suhu ini diperlukan bagi analisis lanjutan yang berkorelasi dengan faktor koreksi lendutan dan modulus lapisan perkerasan aspal.
- e. Musim dalam satu tahun dipertimbangkan untuk mendapatkan modulus dan batas tegangan, regangan tanah dasar, lapisan pondasi bawah dan lapisan pondasi atas

dalam analisis lanjutan menggunakan perangkat lunak ELMOD.

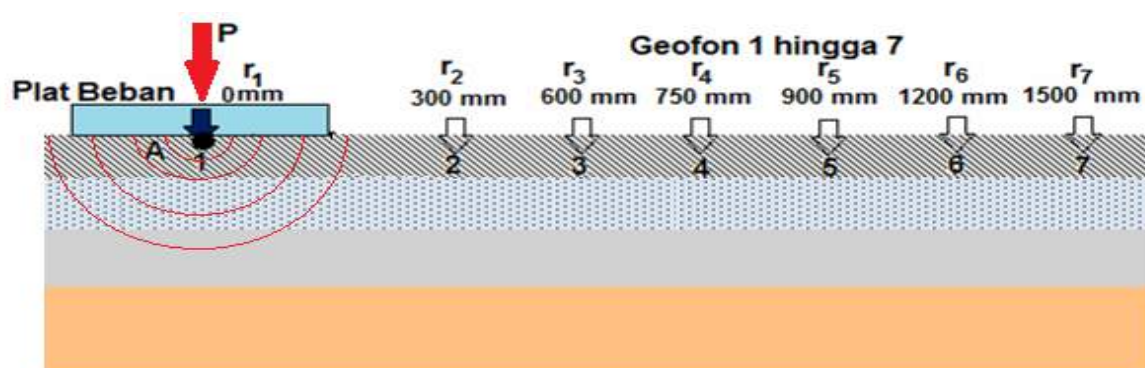
- f. Data pengujian cor drill untuk mendapatkan tebal setiap lapisan bahan perkerasan dan data desain perkerasan yang ada digunakan untuk pertimbangan dalam analisis tebal dan modulus lapisan bahan perkerasan menggunakan perangkat lunak ELMOD.

#### Pemasangan Jarak Geofon pada Alat FWD

Dalam penelitian ini dipasang tujuh geofon pada alat FWD. Seluruh lapisan SPL yang diuji mempunyai ketebalan lapisan bahan aspal antara 15 cm hingga 20 cm, pondasi atas antara 15 cm hingga 20 cm, pondasi bawah antara 30 cm hingga 40 cm dan tanah dasar tebal tak terhingga (tebal perkerasan antara 650 hingga 700 mm) dan masuk dalam penilaian perkerasan normal. Pengaturan jarak ketujuh geofon perekam lendutan dalam pengujian FWD untuk STBL normal diletakkan dalam kedudukan  $r_1 = 0$  mm,  $r_2 = 300$  mm,  $r_3 = 600$  mm,  $r_4 = 750$  mm,  $r_5 = 900$  mm,  $r_6 = 1200$  mm, dan  $r_7 = 1500$  mm dari pusat beban yang ditunjukkan dalam Gambar 6.



GAMBAR 6. Susunan plat beban dan geofon (Dynatest, 2008, disesuaikan)



GAMBAR 5. Susunan geofon dalam pengujian FWD di lapangan

### Penghitungan Modulus Lapisan Perkerasan Menggunakan Metode FWD

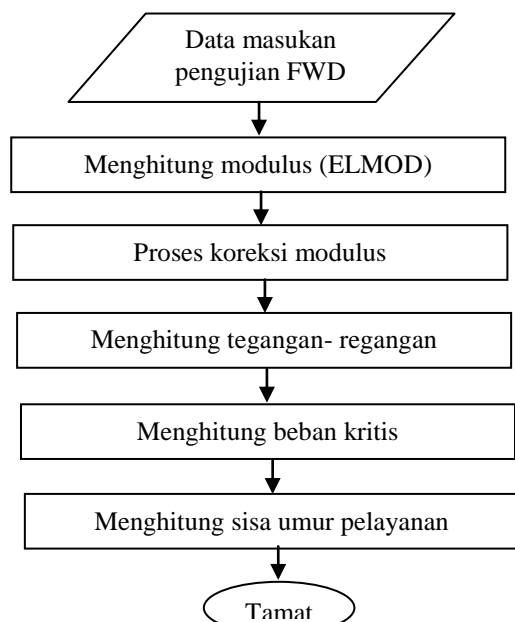
Seterusnya, lendutan perkerasan yang dihasilkan pada pengujian FWD direkam oleh geofon  $d_1, d_2, d_3, d_4, d_5, d_6$  dan  $d_7$  sebagai data asal (*raw data*) dan disimpan dalam CD atau komputer atau kedua-duanya untuk penggunaan analisis lanjutan (Danida, 1990).

Satu titik tegangan dalam bahan tidak linier lapisan perkerasan dapat dihitung melalui data lendutan yang berada tepat dibawah geofon pertama. Metode ini valid apabila digunakan untuk satu titik dalam satu lapisan perkerasan (Huang 1993).

#### *Metode Perhitungan ELMOD dalam Pengujian FWD*

Perangkat lunak ELMOD memasukkan metode analitik dan empirik yang digunakan dalam pengujian FWD. Bagian analitik digunakan untuk menghitung respon perkerasan dalam bentuk tegangan, regangan atau lendutan. Bagian empirik digunakan untuk menghitung performa perkerasan dalam bentuk keretakan, jejak roda, perubahan bentuk dan dapat juga digunakan untuk menghitung sisa waktu pelayanan perkerasan untuk perbaikan di masa depan.

Penghitungan menggunakan perangkat lunak ELMOD dilakukan dalam beberapa langkah seperti yang ditunjukkan dalam Gambar 7.



GAMBAR 7. Bagan alir penghitungan menggunakan perangkat lunak ELMOD

Lendutan dalam SPL dipengaruhi oleh susunan dan tebal lapisan perkerasan, sifat bahan perkerasan (modulus elastis dan rasio Poisson), susunan beban roda kendaraan dan keadaan lingkungan waktu pengujian FWD dijalankan. Gambar lendutan ( $d_i$ ) versus jarak ( $r$ ) dari pengujian FWD *in situ* dapat memberikan informasi untuk penghitungan modulus elastis  $E$  setiap lapisan perkerasan dan tanah dasar. Banyak metode dapat digunakan untuk menghitung modulus elastis  $E$  setiap lapisan perkerasan. Antara lain adalah metode penghitungan balik (TRB 1991; Kosasih 2003) untuk mendapatkan modulus elastis ( $E$ ) setiap lapisan perkerasan. Metode ini membuat penghitungan kurva teori yang dioptimasi supaya mendekati data kurva lendutan dari pengujian FWD untuk perkerasan *in situ*.

Lendutan juga dapat dihitung menggunakan metode tebal setara dan persamaan Boussinesq dimana tanah dasar dianggap bahan yang elastis tak linier menggunakan Persamaan (6) (ELMOD):

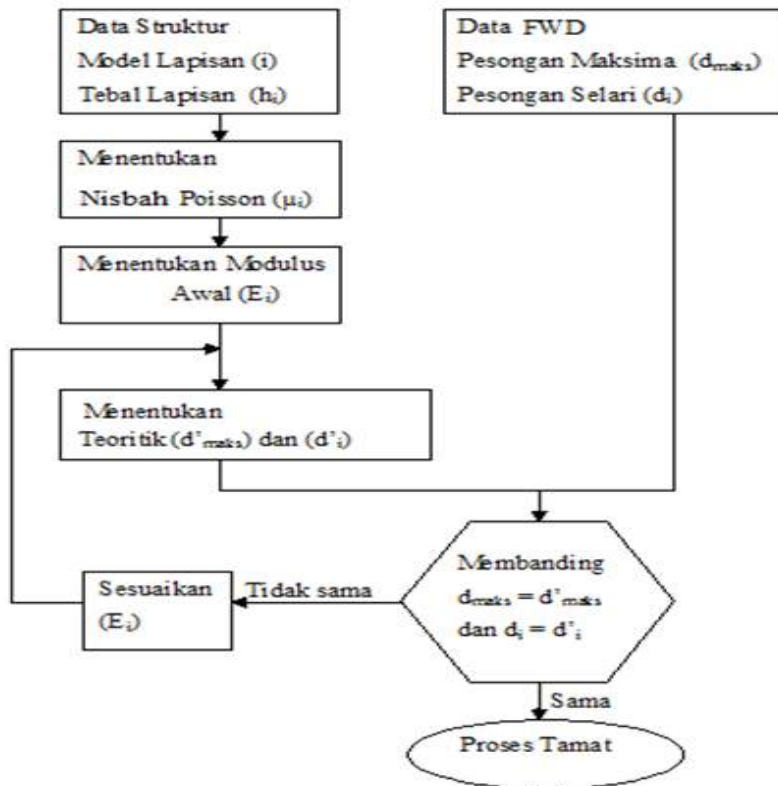
$$E_m = C_0 * (S_1/0,1)^N \quad (6)$$

dengan:

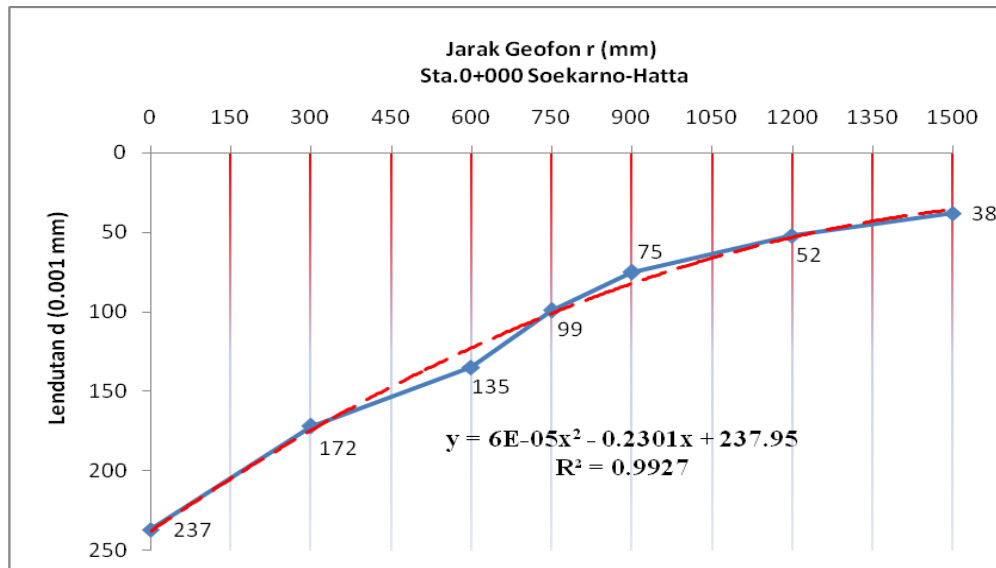
- $E_m$  = modulus tanah dasar gabungan
- $S_1$  = tegangan pada permukaan bagian atas tanah dasar
- $C_0, N$  = bilangan konstan dan nilai  $N \leq 0$

Iterasi dilakukan hingga mendapatkan lendutan teori yang sama atau mendekati lendutan pengujian FWD *in situ*. Bagan alir penghitungan balik untuk mendapatkan modulus elastis setiap lapisan perkerasan ditunjukkan dalam Gambar 8. Gambar 9 adalah satu contoh lendutan ( $d_i$ ) versus jarak geofon ( $r_i$ ) pada Sta.0+000 jalan raya Soekarno-Hatta. Pada gambar ini ditunjukkan bahwa garis penuh ialah lendutan pengujian FWD (lendutan lapangan) dan garis putus-putus adalah persamaan matematik lendutan teori yang mendekati lendutan lapangan.

Penumpuan persamaan lendutan teori dengan lendutan lapangan didapatkan pada  $r_1 = 0$  atau di pusat beban dan pada:  $r_2 = 300$  mm,  $r_4 = 750$  mm,  $r_6 = 1200$  mm dan  $r_7 = 1500$  mm. Titik penumpuan ini membantu proses iterasi pada ELMOD untuk mendapatkan modulus SPL.



GAMBAR 8. Bagan alir proses penghitungan balik



GAMBAR 9. Lendutan (d) versus jarak geofon (r)

#### Pengambilan Data Lapangan Alat FWD

Dalam kajian ini ada tiga alat utama dalam sistem pengujian pengambilan data lapangan yang menggunakan alat FWD Dynatest 8000 dengan 7 geofon, plat beban bulat D 300 mm, prosesor 9000 dan satu unit komputer yang dipasang perangkat lunak ELMOD dan satu

unit pencetak. Data yang didapatkan dari pengujian FWD dapat terus dihitung menggunakan perangkat lunak ELMOD untuk mendapatkan modulus setiap lapisan bahan perkerasan.

Nilai tekanan P beban setengah gandar standar 4,1 Ton dapat menyebabkan tegangan permukaan ( $\sigma_0$ ) perkerasan bernilai 580 kPa.

Apabila tegangan permukaan bernilai 580 kPa dikehendaki, persamaan empirik untuk mendapatkan tinggi ( $h$ ) jatuh dari berat beban dapat dihitung menggunakan Persamaan (7) dan Tabel 2.

$$h = \left( \frac{\sigma}{k} \right)^2 \quad (7)$$

dengan:

$h$  = tinggi jatuh berat beban FWD, mm

$\sigma$  = tegangan permukaan yang dikehendaki, kPa

$k$  = koefisien empirik

Jika tegangan permukaan perkerasan bernilai 580 kPa dikehendaki merujuk kepada Tabel 2. untuk plat baja D 300 mm dan berat beban 200 kg didapatkan tegangan permukaan berada diantara 425-950 kPa. Seterusnya dengan menggunakan Persamaan (7) tinggi jatuh  $h \approx 135$  mm bisa didapatkan. Tegangan permukaan perkerasan yang seterusnya bisa didapatkan dari Persamaan (7) dan Tabel 2.

TABEL 2. Hubungan beban plat baja, tegangan permukaan  $\sigma$  dan koefisien  $k$

| Beban<br>Plat (kg)<br>mm | $\sigma$ (kPa) |             | $k$         |             |
|--------------------------|----------------|-------------|-------------|-------------|
|                          | D 300<br>mm    | D 450<br>mm | D 300<br>mm | D 450<br>mm |
| 350                      | 850-           | 380-750     | 86          | 38          |
| 200                      | 1700           | 190-430     | 50          | 22          |
| 100                      | 425-950        | 95-215      | 25          | 11          |
| 50                       | 210-480        | 45-105      | 13          | 5.8         |
|                          | 100-240        |             |             |             |

## HASIL DAN PEMBAHASAN

### Penghitungan dan Penilaian Modulus Elastis Menggunakan ELMOD

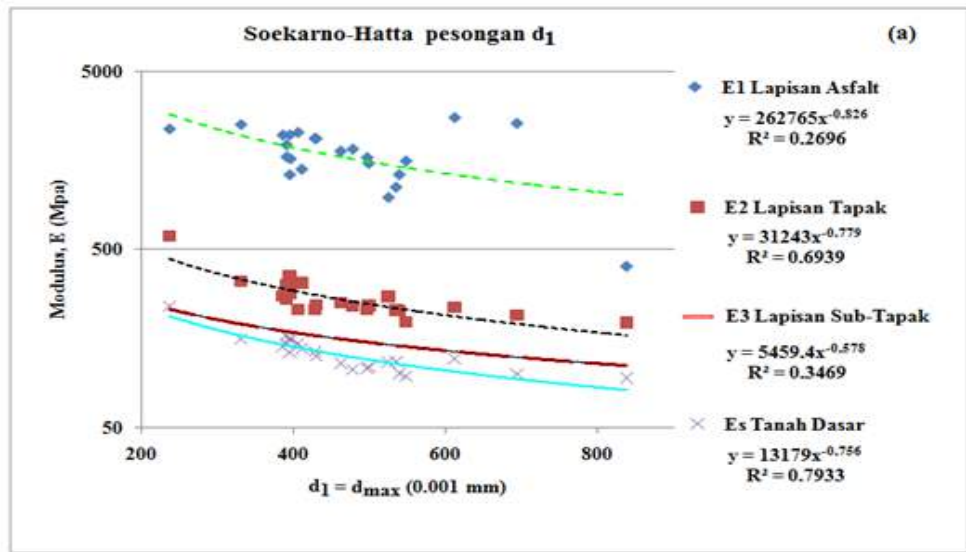
Penghitungan modulus menggunakan ELMOD mengambil model perkerasan empat lapisan. Hasil penghitungan modulus elastis lapisan perkerasan beraspal (E1), lapisan pondasi atas (batu pecah) (E2), lapisan pondasi bawah (pasir batu) (E3) dan lapisan tanah dasar (tanah baik) (Es) menggunakan ELMOD pada kedua jalan raya berdasarkan prosedur pengujian FWD ditunjukkan dalam Tabel 3 dan 4.

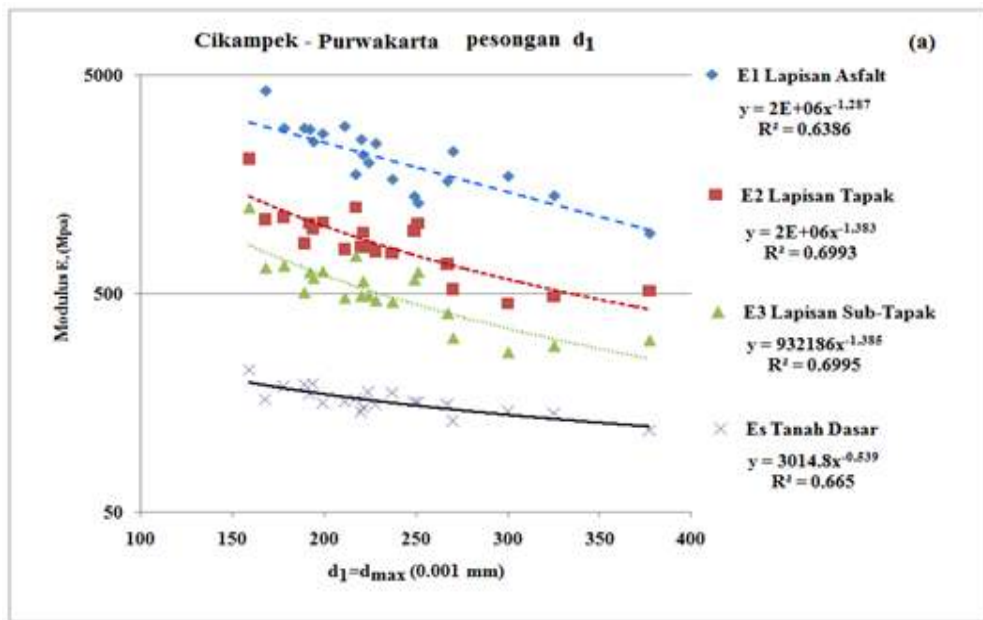
TABEL 3. Lendutan dan Modulus elastis SPL Soekarno-Hatta

| Ttk | Sta   | $(\sigma)$<br>In situ<br>(kPa) | Pengujian FWD Soekarno - Hatta |            |            |            |        |          |          |              | Modulus Elastik Evaluasi ELMOD |                |                |                |
|-----|-------|--------------------------------|--------------------------------|------------|------------|------------|--------|----------|----------|--------------|--------------------------------|----------------|----------------|----------------|
|     |       |                                | Lendutan ( 0.001 mm)           |            |            |            |        |          |          |              | $E_1$<br>(MPa)                 | $E_2$<br>(MPa) | $E_3$<br>(MPa) | $E_s$<br>(MPa) |
|     |       |                                | AC                             | Batu pecah | Pasir batu | Tanah baik | 150 mm | (200 mm) | (300 mm) | ( $\infty$ ) |                                |                |                |                |
| 1   | 0+000 | 582                            | 237                            | 172        | 135        | 99         | 75     | 52       | 38       | 2362         | 596                            | 346            | 240            |                |
| 2   | 0+020 | 580                            | 396                            | 283        | 229        | 170        | 125    | 81       | 52       | 1610         | 307                            | 178            | 154            |                |
| 3   | 0+040 | 569                            | 331                            | 248        | 209        | 163        | 123    | 78       | 50       | 2499         | 331                            | 192            | 157            |                |
| 4   | 0+060 | 578                            | 391                            | 291        | 232        | 170        | 121    | 74       | 48       | 1924         | 264                            | 164            | 153            |                |
| 5   | 0+080 | 587                            | 395                            | 271        | 215        | 157        | 116    | 79       | 51       | 1311         | 358                            | 208            | 160            |                |
| 6   | 0+100 | 578                            | 428                            | 328        | 269        | 203        | 147    | 85       | 54       | 2091         | 230                            | 173            | 134            |                |
| 7   | 0+120 | 580                            | 406                            | 318        | 254        | 184        | 129    | 74       | 45       | 2259         | 230                            | 183            | 149            |                |
| 8   | 0+140 | 578                            | 391                            | 283        | 229        | 174        | 130    | 80       | 50       | 1648         | 316                            | 180            | 145            |                |
| 9   | 0+160 | 583                            | 395                            | 304        | 251        | 192        | 143    | 89       | 53       | 2187         | 282                            | 164            | 132            |                |
| 10  | 0+180 | 574                            | 411                            | 295        | 236        | 177        | 132    | 89       | 55       | 1407         | 325                            | 189            | 139            |                |
| 11  | 0+200 | 574                            | 386                            | 296        | 242        | 182        | 135    | 86       | 54       | 2184         | 273                            | 159            | 142            |                |
| 12  | 0+220 | 584                            | 525                            | 365        | 287        | 212        | 160    | 107      | 64       | 1979         | 272                            | 158            | 117            |                |
| 13  | 0+240 | 588                            | 462                            | 354        | 290        | 221        | 162    | 100      | 57       | 1776         | 252                            | 146            | 115            |                |
| 14  | 0+260 | 578                            | 535                            | 381        | 302        | 222        | 165    | 104      | 66       | 1118         | 229                            | 133            | 118            |                |
| 15  | 0+280 | 585                            | 478                            | 367        | 306        | 236        | 177    | 110      | 64       | 1824         | 240                            | 139            | 106            |                |
| 16  | 0+300 | 576                            | 539                            | 402        | 327        | 248        | 180    | 111      | 63       | 1313         | 227                            | 132            | 101            |                |
| 17  | 0+320 | 584                            | 497                            | 382        | 311        | 235        | 174    | 108      | 63       | 1636         | 231                            | 134            | 108            |                |
| 18  | 0+340 | 586                            | 499                            | 375        | 307        | 232        | 173    | 109      | 64       | 1516         | 242                            | 140            | 109            |                |
| 19  | 0+360 | 587                            | 838                            | 517        | 366        | 251        | 187    | 122      | 68       | 1404         | 195                            | 113            | 95             |                |
| 20  | 0+380 | 582                            | 430                            | 331        | 273        | 207        | 157    | 96       | 62       | 2090         | 243                            | 141            | 127            |                |
| 21  | 0+400 | 577                            | 548                            | 422        | 347        | 258        | 188    | 115      | 65       | 1565         | 196                            | 114            | 97             |                |
| 22  | 0+500 | 580                            | 612                            | 335        | 161        | 121        | 97     | 74       | 61       | 2732         | 236                            | 143            | 122            |                |
| 23  | 1+000 | 578                            | 694                            | 337        | 177        | 139        | 115    | 92       | 77       | 2538         | 213                            | 241            | 100            |                |

TABEL 4. Lendutan dan Modulus elastis SPL Cikampek-Purwakarta

| Ttk | Sta   | Pengujian FWD Cikampek-Purwakarta |       |                     |                |                |                | Modulus Elastik Evaluasi ELMOD |                |                |                |                |                |
|-----|-------|-----------------------------------|-------|---------------------|----------------|----------------|----------------|--------------------------------|----------------|----------------|----------------|----------------|----------------|
|     |       | (σ)                               |       | Lendutan (0.001 mm) |                |                |                |                                |                |                | E <sub>1</sub> | E <sub>2</sub> | E <sub>3</sub> |
|     |       | In situ                           | (kPa) | d <sub>1</sub>      | d <sub>2</sub> | d <sub>3</sub> | d <sub>4</sub> | d <sub>5</sub>                 | d <sub>6</sub> | d <sub>r</sub> | AC             | Batu pecah     | Pasir batu     |
| 1   | 0+000 | 568                               | 189   | 139                 | 125            | 106            | 88             | 64                             | 38             | 2858           | 848            | 505            | 191            |
| 2   | 0+010 | 565                               | 237   | 163                 | 141            | 118            | 98             | 69                             | 42             | 1669           | 768            | 458            | 176            |
| 3   | 0+020 | 579                               | 178   | 130                 | 118            | 103            | 89             | 66                             | 43             | 2858           | 1122           | 669            | 188            |
| 4   | 0+030 | 574                               | 168   | 137                 | 122            | 109            | 96             | 75                             | 49             | 4238           | 1096           | 654            | 164            |
| 5   | 0+040 | 584                               | 211   | 162                 | 145            | 125            | 107            | 79                             | 48             | 2915           | 800            | 477            | 159            |
| 6   | 0+050 | 571                               | 221   | 162                 | 145            | 128            | 111            | 82                             | 51             | 2156           | 953            | 568            | 150            |
| 7   | 0+060 | 565                               | 220   | 166                 | 150            | 131            | 113            | 84                             | 50             | 2539           | 819            | 488            | 144            |
| 8   | 0+070 | 574                               | 267   | 192                 | 163            | 135            | 111            | 79                             | 47             | 1637           | 682            | 406            | 156            |
| 9   | 0+080 | 564                               | 300   | 222                 | 189            | 150            | 121            | 84                             | 50             | 1724           | 452            | 269            | 144            |
| 10  | 0+095 | 557                               | 270   | 209                 | 183            | 156            | 130            | 91                             | 55             | 2237           | 525            | 313            | 131            |
| 11  | 0+105 | 564                               | 377   | 248                 | 214            | 179            | 148            | 103                            | 63             | 1945           | 514            | 306            | 118            |
| 12  | 0+115 | 576                               | 325   | 232                 | 196            | 158            | 128            | 88                             | 55             | 1405           | 483            | 288            | 141            |
| 13  | 0+145 | 580                               | 199   | 151                 | 135            | 118            | 103            | 79                             | 50             | 2697           | 1059           | 631            | 158            |
| 14  | 0+165 | 577                               | 249   | 164                 | 145            | 124            | 105            | 78                             | 48             | 1395           | 970            | 578            | 159            |
| 15  | 0+175 | 591                               | 217   | 150                 | 133            | 117            | 102            | 77                             | 49             | 1757           | 1244           | 742            | 165            |
| 16  | 0+185 | 580                               | 251   | 161                 | 143            | 123            | 105            | 78                             | 47             | 1299           | 1050           | 626            | 160            |
| 17  | 0+195 | 588                               | 228   | 173                 | 152            | 130            | 109            | 81                             | 46             | 2433           | 779            | 465            | 156            |
| 18  | 0+205 | 590                               | 192   | 143                 | 129            | 113            | 97             | 73                             | 44             | 2820           | 1047           | 624            | 174            |
| 19  | 0+215 | 593                               | 159   | 106                 | 94             | 83             | 73             | 57                             | 39             | 2072           | 1236           | 720            | 223            |
| 20  | 0+225 | 588                               | 194   | 141                 | 124            | 106            | 89             | 65                             | 40             | 2477           | 985            | 587            | 194            |
| 21  | 0+235 | 577                               | 224   | 155                 | 139            | 119            | 100            | 70                             | 41             | 1985           | 819            | 488            | 177            |
| 22  | 0+380 | 576                               | 350   | 285                 | 251            | 212            | 169            | 110                            | 50             | 2483           | 678            | 413            | 193            |

GAMBAR 10. Modulus perkerasan dan tanah dasar  $E_i$  versus lendutan  $d_i$  di jalan raya Soekarno-Hatta



GAMBAR 11. Modulus perkerasan dan tanah dasar  $E_i$  versus lendutan  $d_i$  di jalan raya Cikampek-Purwakarta.

TABEL 5. Hubungan antara modulus perkerasan dan lendutan pengujian FWD di jalan raya Soekarno – Hatta

| r <sub>i</sub><br>(mm) | d <sub>i</sub><br>(10 <sup>-3</sup> ) (mm) | E <sub>1</sub><br>(MPa)                            | R <sup>2</sup> <sub>1</sub> | E <sub>2</sub><br>(MPa)                | R <sup>2</sup> <sub>2</sub> | E <sub>3</sub><br>(MPa)                | R <sup>2</sup> <sub>3</sub> | E <sub>s</sub><br>(MPa)                | R <sup>2</sup> <sub>s</sub> |
|------------------------|--|--|-----------------------------|--|-----------------------------|--|-----------------------------|--|-----------------------------|
| 0                      | d <sub>1</sub>                             | 262765d <sub>1</sub> <sup>-0.826</sup>             | 0.2696                      | 31243d <sub>1</sub> <sup>-0.779</sup>  | 0.6939                      | 5459.4d <sub>1</sub> <sup>-0.578</sup> | 0.3469                      | 13179d <sub>1</sub> <sup>-0.756</sup>  | 0.7933                      |
| 300                    | d <sub>2</sub>                             | 1.10 <sup>6</sup> d <sub>2</sub> <sup>-1.119</sup> | 0.3472                      | 93999d <sub>2</sub> <sup>-1.015</sup>  | 0.8264                      | 49436d <sub>2</sub> <sup>-0.992</sup>  | 0.718                       | 31111d <sub>2</sub> <sup>-0.948</sup>  | 0.8766                      |
| 600                    | d <sub>3</sub>                             | 477841d <sub>3</sub> <sup>-1.023</sup>             | 0.3734                      | 10494d <sub>3</sub> <sup>-0.665</sup>  | 0.4573                      | 18414d <sub>3</sub> <sup>-0.86</sup>   | 0.6937                      | 4087.3d <sub>3</sub> <sup>-0.625</sup> | 0.4904                      |
| 750                    | d <sub>4</sub>                             | 210341d <sub>4</sub> <sup>-0.923</sup>             | 0.2932                      | 9711.3d <sub>4</sub> <sup>-0.687</sup> | 0.4708                      | 4059.3d <sub>4</sub> <sup>-0.65</sup>  | 0.5248                      | 14641d <sub>4</sub> <sup>-0.864</sup>  | 0.6751                      |
| 900                    | d <sub>5</sub>                             | 213210d <sub>5</sub> <sup>-0.98</sup>              | 0.2930                      | 11922d <sub>5</sub> <sup>-0.77</sup>   | 0.5243                      | 13835d <sub>5</sub> <sup>-0.904</sup>  | 0.6563                      | 5744.1d <sub>5</sub> <sup>-0.768</sup> | 0.6337                      |
| 1200                   | d <sub>6</sub>                             | 401332d <sub>6</sub> <sup>-1.217</sup>             | 0.3441                      | 16932d <sub>6</sub> <sup>-0.923</sup>  | 0.5729                      | 9913.2d <sub>6</sub> <sup>-0.918</sup> | 0.5149                      | 12524d <sub>6</sub> <sup>-1.016</sup>  | 0.8432                      |
| 1500                   | d <sub>7</sub>                             | 95675d <sub>7</sub> <sup>-1.001</sup>              | 0.1066                      | 6423.2d <sub>7</sub> <sup>-0.795</sup> | 0.4077                      | 487.57d <sub>7</sub> <sup>-1.168</sup> | 0.0404                      | 14347d <sub>7</sub> <sup>-1.168</sup>  | 0.8022                      |

TABEL 6. Hubungan antara modulus perkerasan dan lendutan pengujian FWD di jalan raya Cikampek-Purwakarta

| r <sub>i</sub><br>(mm) | d <sub>i</sub><br>(10 <sup>-3</sup> ) (mm) | E <sub>1</sub><br>(MPa)                            | R <sup>2</sup> <sub>1</sub> | E <sub>2</sub><br>(MPa)                            | R <sup>2</sup> <sub>2</sub> | E <sub>3</sub><br>(MPa)                            | R <sup>2</sup> <sub>3</sub> | E <sub>s</sub><br>(MPa)                | R <sup>2</sup> <sub>s</sub> |
|------------------------|--|--|-----------------------------|--|-----------------------------|--|-----------------------------|--|-----------------------------|
| 0                      | d <sub>1</sub>                             | 2.10 <sup>6</sup> d <sub>1</sub> <sup>-1.287</sup> | 0.6386                      | 2.10 <sup>6</sup> d <sub>1</sub> <sup>-1.383</sup> | 0.6993                      | 932186d <sub>1</sub> <sup>-1.385</sup>             | 0.6995                      | 932186d <sub>1</sub> <sup>-1.385</sup> | 0.665                       |
| 300                    | d <sub>2</sub>                             | 369589d <sub>2</sub> <sup>-1.016</sup>             | 0.3571                      | 3.10 <sup>6</sup> d <sub>2</sub> <sup>-1.625</sup> | 0.8653                      | 2.10 <sup>6</sup> d <sub>2</sub> <sup>-1.627</sup> | 0.8653                      | 3883d <sub>2</sub> <sup>-0.624</sup>   | 0.797                       |
| 600                    | d <sub>3</sub>                             | 393178d <sub>3</sub> <sup>-1.054</sup>             | 0.3313                      | 5.10 <sup>6</sup> d <sub>3</sub> <sup>-1.749</sup> | 0.8645                      | 3.10 <sup>6</sup> d <sub>3</sub> <sup>-1.751</sup> | 0.8645                      | 4929.4d <sub>3</sub> <sup>-0.687</sup> | 0.8347                      |
| 750                    | d <sub>4</sub>                             | 450576d <sub>4</sub> <sup>-1.117</sup>             | 0.2976                      | 8.10 <sup>6</sup> d <sub>4</sub> <sup>-1.886</sup> | 0.8049                      | 5.10 <sup>6</sup> d <sub>4</sub> <sup>-1.888</sup> | 0.8048                      | 7651.1d <sub>4</sub> <sup>-0.801</sup> | 0.9073                      |
| 900                    | d <sub>5</sub>                             | 448752d <sub>5</sub> <sup>-1.156</sup>             | 0.2638                      | 7.10 <sup>6</sup> d <sub>5</sub> <sup>-1.95</sup>  | 0.712                       | 4.10 <sup>6</sup> d <sub>5</sub> <sup>-1.952</sup> | 0.7118                      | 10933d <sub>5</sub> <sup>-0.906</sup>  | 0.9615                      |
| 1200                   | d <sub>6</sub>                             | 284988d <sub>6</sub> <sup>-1.134</sup>             | 0.1896                      | 4.10 <sup>6</sup> d <sub>6</sub> <sup>-1.948</sup> | 0.5303                      | 2.10 <sup>6</sup> d <sub>6</sub> <sup>-1.95</sup>  | 0.5301                      | 16273d <sub>6</sub> <sup>-1.063</sup>  | 0.9872                      |
| 1500                   | d <sub>7</sub>                             | 178251d <sub>7</sub> <sup>-1.156</sup>             | 0.1705                      | 517813d <sub>7</sub> <sup>-1.664</sup>             | 0.3348                      | 309872d <sub>7</sub> <sup>-1.079</sup>             | 0.3345                      | 10319d <sub>7</sub> <sup>-1.079</sup>  | 0.8811                      |

Korelasi empirikal penghitungan ELMOD untuk modulus setiap lapisan perkerasan dengan lendutan hasil pengujian FWD di kedua jalan raya ditunjukkan dalam Gambar

10 dan 11 untuk lendutan d<sub>1</sub> dan untuk lendutan yang lain.

Gambar 10 dan Gambar 11 menunjukkan bahwa lendutan ( $d_1=d_0=d_{\max}$ ) mempunyai korelasi yang baik dengan modulus lapisan pondasi atas ( $E_2$ ) ( $R^2 = 0,6939$  dan  $0,6993$ ), demikian juga dengan modulus lapisan tanah dasar ( $E_S$ ) ( $R^2 = 0,7933$  dan  $0,665$ ). Lendutan ( $d_1=d_0=d_{\max}$ ) tidak menunjukkan korelasi yang baik dengan modulus lapisan aspal ( $E_1$ ) ( $R^2 = 0,2696$ ) dan modulus lapisan pondasi bawah ( $E_3$ ) ( $R^2 = 0,3469$ ).

Hubungan antara modulus dan lendutan yang lengkap ditunjukkan dalam Tabel 5 dan 6. Kosasih (2003) memperoleh hubungan antara modulus aspal perkerasan dan lendutan  $d_{\max}$  ( $d_1=d_0=d_{\max}$ ), dan juga hubungan antara modulus tanah dasar dan lendutan  $d_{750}$  ( $d_4=d_{750}$ ) seperti ditunjukkan dalam Persamaan (8) dan (9).

$$E_{\text{Lapisan-aspal}} = 3,817,850.97 d_{\max}^{-1,4165} \quad (8)$$

$$E_{\text{Lapisan-Tanah-dasar}} = 21,417.22 d_{750}^{-1.0} \quad (9)$$

Dalam kajian ini hubungan antara modulus aspal perkerasan dan lendutan  $d_1$  ( $d_1=d_0=d_{\max}$ ), serta hubungan antara modulus tanah dasar dan lendutan  $d_4$  ( $d_4=d_{750}$ ) ditunjukkan dalam persamaan (10) dan (11):

$$E_{\text{Lapisan-aspal}} = 2,000,000 d_1^{-1,287} \quad (10) \\ (R^2 = 0,6386)$$

$$E_{\text{Lapisan-aspal}} = 7651.1 d_4^{-0,801} \quad (11) \\ (R^2 = 0,9073)$$

Ada dua perbedaan utama pada Persamaan (8) dibandingkan dengan Persamaan (10) dan untuk Persamaan (9) dibandingkan dengan Persamaan (11) dalam korelasi antara lapisan aspal dengan lendutan maksimum ( $d_{\max}$ ). Begitu juga perbedaan didapat bagi lapisan tanah dasar dengan lendutan  $d_4$  ( $d_{750}$ ) yang didapat oleh Kosasih (2003) dan yang didapatkan dalam penelitian ini. Pertama adalah beda suhu dan ketebalan lapisan aspal dan yang kedua adalah beda kekuatan tanah dasar perkerasan. Persamaan (8) didapatkan dalam keadaan suhu perkerasan  $34^\circ\text{C}$  dan ketebalan lapisan beraspal 385 mm dengan selang data lendutan yang lebar yaitu antara 160 hingga 800 x 0,001 mm dan rata-rata lendutan 400 x 0,001 mm. Nilai lendutan yang besar dengan selang antara 400 hingga  $> 600$  x 0,001 mm dalam pengujian FWD dapat menunjukkan lapisan pondasi atas, pondasi bawah dan tanah dasar yang lemah (Brown

1986). Penghitungan modulus kekuatan denyutan dan dinamik dalam beban standar (4,1 Ton) yang didapatkan Kosasih (2003) adalah 5,125 Ton/mm. Dalam penelitian ini Persamaan (10) digunakan untuk keadaan suhu perkerasan  $39^\circ\text{C}$  dan ketebalan lapisan beraspal 200 mm dengan selang data lendutan yang pendek antara 159 hingga  $377 \times 0,001$  mm dan rata-rata lendutan  $255 \times 0,001$  mm. Lendutan yang diperoleh menunjukkan bahwa lapisan pondasi atas, pondasi bawah dan tanah dasar adalah kuat (Brown 1986). Penghitungan modulus kekuatan denyutan dan dinamik dalam beban standar (4,1 Ton) yang didapatkan dalam kajian ini adalah 10,88 Ton/mm  $> 5,125$  Ton/mm (Kosasih 2003). Ini adalah sebab utama perbedaan bagi persamaan yang telah disebutkan. Kedua persamaan mendapatkan nilai modulus aspal adalah 3175,65 MPa pada lendutan  $d_{\max}=149,61 \times 0,001$  mm. Pada lendutan  $d_{\max}=0,1$  mm (Persamaan 8) modulus aspal adalah 5618,48 MPa yakni lebih besar daripada modulus aspal penelitian ini yaitu 5333,72 MPa (Persamaan 10) dengan deviasi +5%. Untuk nilai lendutan  $d_{\max}=0,225$  mm juga didapatkan deviasi -5% dengan nilai modulus aspal 1781,94 MPa (Persamaan 8) yakni lebih kecil daripada modulus aspal kajian ini yaitu  $1878,33$  MPa (Persamaan 10). Ini menunjukkan bahwa modulus lapisan aspal yang didapatkan dalam penghitungan Persamaan (8) (Kosasih 2003) lebih besar daripada Persamaan (10) (hasil penelitian ini) untuk lendutan yang kurang daripada nilai  $d_{\max}=0,149$  mm dan begitu juga sebaliknya.

Hubungan korelasi tanah dasar dengan lendutan maksimum ( $d_{750} = d_4$ ) yang ditunjukkan oleh Persamaan (9) (Kosasih, 2003) dan (11) (penelitian ini) didapatkan pada musim kering. Kekuatan tanah dasar kedua persamaan tidak dipengaruhi oleh perubahan suhu, hanya dipengaruhi oleh perubahan musim. Kekuatan tanah dasar dan lapisan pondasi atas yang didapatkan Kosasih (2003) mempunyai nilai sama, yaitu 192,67 MPa. Dalam penelitian ini lapisan pondasi atas, pondasi bawah dan tanah dasar mempunyai nilai modulus 860, 513 dan 160 MPa. Ini menyebabkan perbedaan yang didapatkan antara kedua persamaan tersebut. Kedua persamaan mendapatkan nilai modulus tanah dasar yang sama untuk lendutan  $d_{750}=73,413 \times 0,001$  mm yaitu 245,04 MPa. Deviasi +5% didapatkan untuk nilai lendutan  $d_{750}=59,88 \times 0,001$  mm dengan modulus tanah dasar 302,92

MPa (Persamaan 9) yang lebih besar daripada 288,48 MPa (Persamaan 11).

Didapatkan juga deviasi -5% untuk nilai lendutan  $d_{750} = 90,95 \times 0,001$  mm (Persamaan 10) dengan modulus tanah dasar 196,08 MPa yang lebih besar daripada 206,41 MPa hasil penelitian ini (Persamaan 11). Ini menunjukkan corak yang sama seperti pembahasan dalam penghitungan lapisan beraspal untuk kedua persamaan. Tambahan lagi dalam SPL standar empat lapisan rasio modulus pondasi atas dengan modulus tanah dasar untuk kelas sempurna adalah  $> 1,5$ . Dalam Persamaan (9) didapatkan rasio pondasi atas dengan modulus tanah dasar adalah 1 (kelas memuaskan) dan untuk Persamaan (11) adalah 3,2 (kelas sempurna) (JKRM, 1994). Perbedaan kelas kekuatan untuk tanah dasar memberi andil dalam meningkatkan perbedaan antara Persamaan (8) (Kosasih 2003) dengan Persamaan (11). Lendutan  $d_4$  yang didapatkan Kosasih (2003) adalah titik perubahan kurva (*point of inflection*) dari seri lendutan  $d_1$  hingga  $d_7$  pengujian FWD yang berkorelasi dengan modulus tanah dasar. Kajian ini menunjukkan bahwa semua lendutan  $d_i$  berkorelasi dengan modulus tanah dasar dengan  $R^2 > 0,65$  seperti yang ditunjukkan dalam Tabel 7 dan 8.

## KESIMPULAN

1. Semua hasil pengujian lendutan yang menggunakan alat FWD mempunyai korelasi dengan lapisan perkerasan yang terdiri dari empat lapisan yaitu lapisan permukaan beraspal, lapisan pondasi atas, lapisan pondasi bawah dan lapisan tanah dasar dengan nilai  $R^2$  yang berbeda-beda. Korelasi yang mempunyai nilai  $R^2 > 0,5$  ditunjukkan dalam persamaan berikut:

$$E_{\text{Lapisan-aspal}} = 2,000,000 d_1^{-1,287}$$

( $R^2 = 0,6386$ )

$$E_{\text{Lapisan-aspal}} = 7651.1 d_4^{-0,801}$$

( $R^2 = 0,9073$ )

2. Lendutan  $d_4$  yang didapatkan Kosasih (2003) adalah titik perubahan kurva (*point of inflection*) dari seri lendutan  $d_1$  hingga  $d_7$  pengujian FWD yang berkorelasi dengan modulus tanah dasar. Kajian ini menunjukkan bahwa semua lendutan di

berkorelasi dengan modulus tanah dasar dengan  $R^2 > 0,65$ .

TABEL 7. Hubungan lendutan dengan modulus tanah dasar jalan raya Soekarno-Hatta Sta.0+000 hingga Sta. 1+000

| No | $d_i$ | $E_S$                 | $R^2$  |
|----|-------|-----------------------|--------|
| 1  | $d_1$ | $13179 d_1^{-0,756}$  | 0.7933 |
| 2  | $d_2$ | $31111 d_2^{-0,948}$  | 0.8766 |
| 3  | $d_3$ | $4087.3 d_3^{-0,625}$ | 0.4904 |
| 4  | $d_4$ | $14641 d_4^{-0,864}$  | 0.6751 |
| 5  | $d_5$ | $5744.1 d_5^{-0,768}$ | 0.6337 |
| 6  | $d_6$ | $12524 d_6^{-1,016}$  | 0.8432 |
| 7  | $d_7$ | $14347 d_7^{-1,168}$  | 0.8022 |

TABEL 8. Hubungan lendutan dengan modulus tanah dasar jalan raya Cikampek-Purwakarta Sta.0+000 hingga Sta.0+235

| No | $d_i$ | $E_S$                  | $R^2$  |
|----|-------|------------------------|--------|
| 1  | $d_1$ | $3014.8 d_1^{-0,539}$  | 0.6650 |
| 2  | $d_2$ | $3883 d_2^{-0,624}$    | 0.7970 |
| 3  | $d_3$ | $4929.4 d_3^{-0,0687}$ | 0.8347 |
| 4  | $d_4$ | $7651.1 d_4^{-0,801}$  | 0.9073 |
| 5  | $d_5$ | $10933 d_5^{-0,906}$   | 0.9615 |
| 6  | $d_6$ | $16273 d_6^{-1,063}$   | 0.9872 |
| 7  | $d_7$ | $10319 d_7^{-1,079}$   | 0.8811 |

## DAFTAR PUSTAKA

- Acum, W.E.A. and Fox, L. (1951). Computation of road stresses in a three-layer elastic system, *Geotechnique*. London, U.K.:293-300.
- American Association of State Highway and Transportation Officials (AASHTO), (1993). *AASHTO Guide for Design of Pavement Structures*. Washington, D.C: American Association of State Highway and Transportation Officials.
- Asphalt Institute (1981). *Thickness Design, Asphalt Pavement Structure for Highway and Streets (MS-1)*: College Park, Maryland 20740, USA.
- Berg, F. Jansen, J. and Larsen, H. (1986). Structural Pavement analysis based on FWD, georadar and/or Geosonar data. *Proc. 2nd Int. Conf. On The Bearing*

- Capacity of Roads and Airfields.* Playmonth, England.
- Boussinesq (1885). *Application des potentials a l' etude de l'équilibre et du mouvement des solides élastiques.* Paris: Gauthier Villars.
- Brown, S.F., Tam, W.S., Brunton, J.M. (1986). Development of an analytical method for the structural evaluation of pavement, *Proc. 2nd Int. Conf. On the Bearing Capacity of Road and Airfields.* Playmonth, England.
- Chen, D., Bilyeu, J., Lin, H. and Murphy, M. (2000). Temperature Correction on Falling Weight Deflectometer Measurements. In *Transportation Research Record.* 1716. Transportation Research Board, Washington, DC.:30-39.
- Choi, J.W., Wu, R., Pestana J.M. and Harvey (2010). New Layer-Moduli Back-Calculation Method Based on the Constrained Extended Kalman Filter. *Journal of Transportation Engineering.* ASCE.Vol. 136: No.1.
- Danida dan Pusat Litbang Jalan (1990). *Study of Improved Bearing Capacity Evaluation and Strengthenen Design of Road.* Technical Report No. 2. FWD Calibration, Bandung: Puslitbang P.U.
- DPU (1993). *Faktor Ekivalen Beban (ESA) Untuk Perencanaan Perkerasan Lentur Dengan Alat Falling Weight Deflectometer (FWD).* Laporan Penelitian No. 11-010-TJ-92. Departemen Pekerjan Umum Badan Penelitian Dan Pengembangan PU : Pusat Penelitian Dan Pengembangan Jalan. Bandung, Indonesia.
- Dynaflect (2001). *Dynamic Deflection Determination System.* Geo-Log. Inc. 220: Industrial Avenue Granbury, Texas 76049, U. S. A.
- Dynatest (2008). *Technical Advisory. Construction and Bridge Divisions.* Typical TxDOT FWD and Major components of the FWD unit: Texas Department of Transportation. U.S.A.
- Ehrola., Belt, J., Ryynanen, T. (1990). Influence of Asphalt Pavements, *Proc. Of the 3rd Int. Conf. On Bearing Capacity of Roads and Airfields.* Trondein: Norway.
- FHWA (U.S. Federal Highway Administration) (2003). *Distress Identification Manual for the Long-Term Pavement Performance Program.* Publication: No. FHWA-RD-03-031, Washington D.C.
- Fwa, T., and Rani, T. (2005). Seed Modulus Generation Algorithm for Backcalculation of Flexible Pavement Moduli. *Transportation Research Record,* 1905(-1): 117-127.
- Gedafa, D.S., Hossein, M., Miller, R., and Steele, D. (2009). Network Level Pavement Structural Evaluation Using Rolling Wheel Deflectometer. In *Transportation Research Board Annual Meeting:* Preprin DVD, Transportation Research Board of the National Academies, Washington, D.C.
- Huang, Y.H. (1969). Computation of equivalent single-wheel loads using layered theory. *Hwy. Res. Rec.* 291. *Hwy. Res. Board:* 144-155.
- Huang, Y.H. (1993). *Pavement Analysis and Design.* University of Kentucky. Prentice Hall, Englewood Cliffs, New Jersey, 07632. U. S. A.
- Huang, Y.H. (2004). *Pavement Analysis and Design.* Pearson Prentice Hall, Upper Saddle River, NJ.
- Humer, R.P., Koole, R.C., Bosch, G.R. (1986). Airport Pavement Evaluation measurements and the BISAR computer programme. *Proc. 2nd Int. Conf. On the Bearing Capacity of Roads and Airfield:* Playmonth, England.
- Irwin, L.H. (1991). Report of the Discussion Group on Practical Limitations and What can be Done to Overcome Them, *TRR-1377, Proceedings of a Symposium:* Washington DC.
- Jabatan Kerja Raya Malaysia (1994). *Interim Guide to Evaluation and Rehabilitation of Flexible Road Pavements.* Guide Line. Jabatan Kerja Raya Malaysia.
- Kosasih, D. (2003). The Effects of Pavement Structure Modeling and Deflection Bowl Analysis on Calculated Layer Moduli. *Journal of the Eastern Asia Society for Transportation Studies.* Vol 5: 927-939.

- Linda, M.P. (1999). Development of a Computer Program for the Determination of the Area Value and Subgrade Modulus using the Dynatest FWD. *Pavement and Soils Engineer*: Washington State Department of Transportation.
- Loanides, A.M., Khazanovich, L. (1998). General formulation for multilayered pavement systems. *ASCE Journal of transportation engineering*. Vol.124 No.1.
- Miura, Y., Tobe, T. (1977). Evaluation of Existing pavement based on deflection and radius of curvature and overlay design. *Proc. 4th. Int. Conf. On Structural Design of Asphalt Pavements*: Ann Arbor, Michigan.
- Molennar, A., Beuving, E. (1986). Assessment of stress dependent and soft layers in pavement structural by means of deflection measurements. *Proc. 2nd. Int. Conf. On the Bearing Capacity of Roads and Airfield*: Playmonth, England.
- Odemark, N. (1949). *Investigations as to the elastic properties of soils and design of pavements according to the theory of elasticity*.: Statens Väginstitut, Stockholm.
- Park, D.Y., Buch, N., and Chatti, K. (2001). Effective layer temperature prediction model and temperature correction via falling weight deflectometer deflections. *Transportasi Research Record*. 1764: 97-106.
- Park, H.M., and Kim, Y.R. (2003). Prediction of remaining life of asphalt pavement with falling-weight deflectometer multiload-level deflections. *Transportation Research Record*.1860: 48-56.
- Peatti, K.R. (1962). A fundamental method for the design of flexible roads: The basis of the method. *Thornton Research Centre. Report*: M 215.
- Puslitbang (2003). *Pengkajian Metoda Perencanaan Tebal Lapis Tambahan Perkerasan Lentur Dengan Falling Weight Deflectometer (FWD)*. Laporan No: 03-1-01-4-21-03. Departemen Perumikan dan Prasarana Wilayah Badan Penelitian dan Pengembangan Perumikan dan Prasarana Wilayah: Pusat Penelitian dan Pengembangan Prasarana Transportasi, Bandung, Indonesia
- Shao, L., Park, S.W., and Kim, Y.R. (1997). Simplified Procedure for Prediction of Asphalt Pavement Subsurface Temperature Based on Heat Transfer Theories. In *Transportation Research Record 1568*, Transportation Research Board, Washington, D. C: 114-123
- Shell International Petroleum Company (1978). *Shell Pavement Design Manual:Asphalt Pavements and Overlay for Road Traffic*.: Shell International Petroleum Co.: London.
- Stolle, D.F.E. and David, K.H. (2002). Assessment of the Impact of Layer Moduli on Measured Surface Deflections. *Paper prepared for presentation at Pavement Evaluation*. A Joint Conference of the FWD and Road Profilers User Groups: Roanoke, Virginia.
- Tawfiq K. (2003). Utilizing the Falling Weight Deflectometer in Evaluating Soil Support Values of Pavement Layers. *Summary of Report, BC352-01* of the Florida A and M University: Florida State University College of Engineering.
- TxDOT. (2008). *Frequently Asked Questions about the Falling Weight Deflectometer (FWD)*. Technical Advisory: Texas Department of Transportation.
- Ullidtz, P. (1984). *Prediction of Pavement Response Using Non-Classical Theories of Elasticity*, Notat 81-1, The Institute of Roads, Transport and Town Planning: The Technical University of Denmark.
- Ullidtz, P. (1989). *A New Mechanistic-Empirical Design for Flexible Pavement and Rehabilitation Programme*. Research Product from the 34 SHRP Program: Virginia.
- Ullidtz, P. and Peattie, K.R. (1980). Pavement Analysis by Programmable Calculators, *Transportation Engineering Journal*, American Society of Civil Engineers. U.S.A.
- Ullidtz, P. (1987). *Pavement Analysis, Development in Civil Eng.* Vol 19 Amsterdam, the Netherlands.

- Ullidtz, P. (1998). *Modelling flexible pavement response and performance*. Technikal University of Denmark.
- Ullidtz, P., Stubstand, R.N. (1985). Analytical-Empirical Pavement Evaluation using the Falling Weight Deflectometer, *Transportation Research Record* 1022, TRB Washington, DC.
- Uzan J., Lytton R.L. Germann F.P. (1989). General procedur for backcalculating layer moduli. In: Bush A. J., Baladi G. Y., editor. *NDT of pavements and backcalculation of maduli, 1. Special technical publication, STP 1026*. Pensilvania: ASTM Publication: 7-38.
- van Cauwelaert, F. (1993). *The story of rational design of Pavements*. (ed. Nilsson. R) Division of Highway Engineering. TRITA-IP FR 99-51: Royal Institute of Technology. Sweden.
- Watson, D.E., Zhang, J., and Powell, R.B. (2004). Analysis of Temperature Data for the National Center for Asphalt Technology Test Track. In *Transportation Research Record 1891*. *Transportation Research Board*. Washington, D C: 68-75.
- WSDOT. (2009). *Pavement Guide For Design, Evaluation and Rehabilitation*. Washington State Department of Transportation: Washington. U.S.A.
- Xu, B., Ranjithan, S.R. and Kim, Y.R. (2002). New relationship between falling weight deflectometer deflections and asphalt pavement layer condition indicators. *Transportation Research Record*. 1806: 48-56.
- Zhou, H. (2000). Comparison of backcalculated and laboratory measured moduli on AC and granular base layers materials. In: Tayabji SD, Lukanen EO, editors. *NDT of Pavements and backcalculation of moduli, 3. Special technical publication, STP 1375*, vol. 3-37. Pensilvania. ASTM Publication: 161-172
- Zhou, H., Hicks, R.G., Bell, C.A. (1992). Development of a backcalculation program and its verification. In: *Proceedings of the seventh international conference on asphalt pavements*. Vol. 1.:391-400. U.K.
- 
- PENULIS:
- Sentot Hardwiyono✉  
Program Studi Teknik Sipil, Fakultas Teknik,  
Universitas Muhammadiyah Yogyakarta, Jalan  
Lingkar Selatan, Bantul 55183, Yogyakarta.  
✉Email: sentot\_hardwiyono@yahoo.com